

دگریختی نقلی ژرف شیب، در حوضه کششی سیه‌چشمه: امتداد گسل گیلاتو-سیه‌چشمه-خوی

سیروس اسماعیلی* - دانشجوی دکتری، گروه زمین‌شناسی، دانشگاه بیرجند، بیرجند
محمد مهدی خطیب - استاد، گروه زمین‌شناسی، دانشکده علوم، دانشگاه بیرجند، بیرجند
حمید نظری - دانشیار، پژوهشکده علوم زمین، سازمان زمین‌شناسی و اکتشافات معدنی کشور، تهران، ایران
ژان پیر بورگ - استاد دپارتمان علوم زمین، دانشگاه ETH زوریخ، سوئیس
ابراهیم غلامی - دانشیار، گروه زمین‌شناسی، دانشگاه بیرجند، بیرجند

پذیرش مقاله: ۱۳۹۷/۰۶/۱۴ تایید نهایی: ۱۳۹۸/۰۲/۱۴

چکیده

در این مقاله برای اولین بار در ایران، نوعی از ناپایداری شیبی در بخش همپوشان دو پاره گسلی گیلاتو-سیه‌چشمه-خوی که در یک ترکیب خم رهایی تشکیل حوضه کششی سیه‌چشمه را داده-اند، تحت عنوان دگریختی نقلی ژرف شیب معرفی و مطالعه شده است. گسل گیلاتو-سیه‌چشمه-خوی، با سازوکار جنبشی راستالغز راستبر و با راستای شمال باختری-جنوب خاوری در بخش میانی پهنه برخوردی صفحه‌های قاره‌ای عربی-اوراسیا، در شمال باختری ایران واقع شده است. در این پژوهش، عوامل موثر بر این رخدادها و سایر ناپایداری‌های شیبی این منطقه و نیز ارتباط آنها با ساختارهای زایشی حوضه‌های کششی و تاثیر تغییرات آهنگ لغزش در امتداد گسل، بر روی ناپایداری‌های شیبی مورد بررسی قرار گرفته است. بدین منظور، از طریق سن سنجی رادیوکربن نمونه خاک دیواره آبراهه منحرف شده بر روی پاره گسلی سیه‌چشمه-خوی (بخش جنوب خاوری گسل گیلاتو-سیه‌چشمه) و همچنین با استناد به سن روانه‌های سنگ‌های بازالتی منطقه در مطالعات پیشین و تشخیص مقدار جابجایی متأثر از اثر عملکرد پاره گسلی گیلاتو-سیه‌چشمه (بخش شمال باختری گسل گیلاتو-سیه‌چشمه-خوی)، به ترتیب آهنگ لغزش $4.6 \pm 0.3 \text{ mm/yr}$ و $1.65 \pm 0.1 \text{ mm/yr}$ برای این پاره‌های گسلی محاسبه شده است. این تغییر آهنگ لغزش در امتداد گسل، باعث فراخاست هر چه بیشتر بخش باختری حوضه کششی سیه‌چشمه نسبت به بخش خاوری آن و همچنین تشکیل افسانه‌های گسلی راندگی در پایانه شمال باختری پاره گسلی سیه‌چشمه-خوی شده است و در نتیجه، پدیده‌های دگریختی نقلی ژرف در شیب‌های ارتفاعات محصور کننده این حوضه کششی رخ داده است.

واژگان کلیدی: دگریختی نقلی ژرف شیب، گسل گیلاتو-سیه‌چشمه-خوی، حوضه کششی سیه‌چشمه، آهنگ لغزش، ناپایداری شیبی.

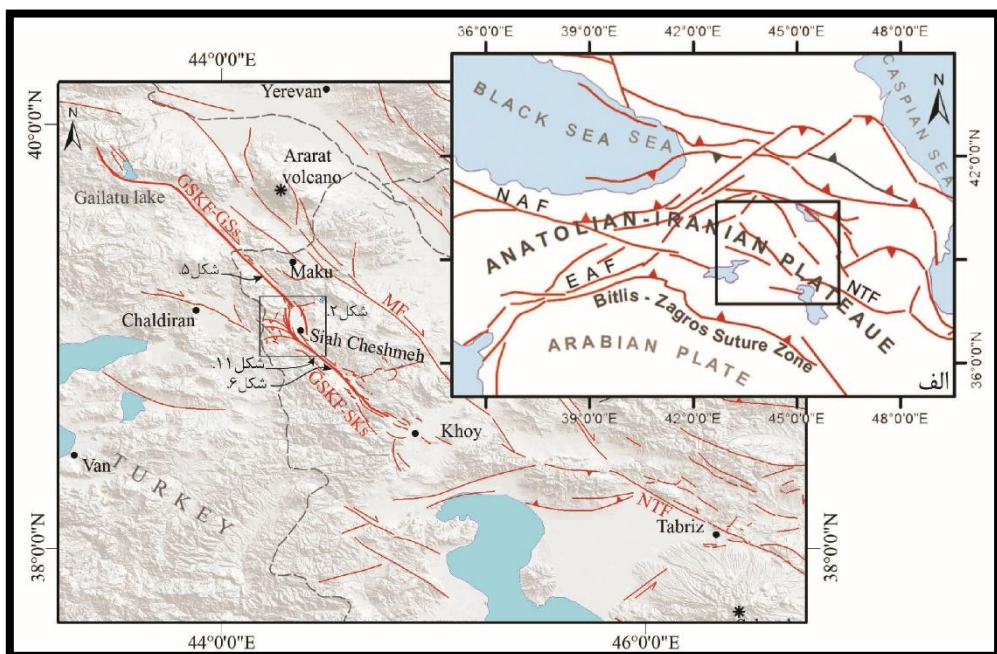
مقدمه

نیروی ثقل زمین نقش مهمی در دگریختی پوسته زمین ایفا می‌کند (شولز^۱، ۲۰۰۱). این دگریختی با سازوکارها و فرایندهای مختلفی صورت می‌گیرد که رخدادهای دگریختی ثقلی ژرف شیب (د.ث.ژ.ش)^۲ یکی از مهمترین فرایندها در دگریختی پهنه‌های کوهستانی به شمار می‌رود. این رخدادهای می‌توانند بخش وسیعی از شیب کوهستان یا تمام شیب را با عمق بیش از ۲۰۰ متر (کروستا^۳ و همکاران ۱۳: ۲۰۱۴) تحت تاثیر فعالیت خود قرار دهند. این پدیده‌ها آهنگ جابجایی بطئی داشته (آمبروسی^۴ و کروستا، ۲۰۰۶: ۱۸۴)، در مقایسه با مساحت شیب، مقدار جابجایی کمی دارند و جزء پدیده‌هایی هستند که در زمان زمین شناسی طولانی مدتی تکامل می‌باشند (آگلیاردی^۵ و همکاران ۱۲: ۲۰۱۲). یک رخداد د.ث.ژ.ش می‌تواند سنگ‌های شیب کوه را با حجمی بیش از صدها میلیون متر مکعب در ژرفای چند صد متر (سولداتی^۶، ۲۰۱۳: ۱۵۲) تا ۱۰۰۰ متر (مار، ۱۹۷۷: ۱۲۱) و پهنه‌ای بیش از ۱۰ کیلومتر مربع (آگلیاردی و همکاران، ۱۳: ۲۰۱۳) جابجا کند. حجم و ابعاد کوچک‌تر از این مقادیر، مرز گذر از د.ث.ژ.ش و زمین‌لغزش‌های بزرگ را شامل می‌شود (آگلیاردی و همکاران، ۱۲: ۲۰۱۲).

جنایی گسل‌ها در یک منطقه عامل مهمی در دگریختی شیب‌ها از جمله دامنه‌های پوشید بوده و یکی کلیدی ترین نقش‌ها را در فرایندهای شروع و فرگشت فرایندهای حرکت شیبی دارد (فالادینی^۷، ۲۰۰۶: ۲۰۱؛ بوربانک و اندرسون^۸، ۲۰۰۱). این جنایی در بازخورد بین تنش‌های توپوگرافی که خود متاثر از ارتفاع محلی (تنش فشارشی بیشتر در دامنه پوشیده‌تر) و ساختارهای زمین شناسی (آگلیاردی و همکاران، ۱۹۹۴: ۴۷۱) هستند، می‌توانند در برهم‌کنش با تنش‌های زمین‌ساختی منطقه (آمبروسی و کروستا، ۲۰۱۱: ۲۱۶) و تنش‌های سطحی مانند بارگذاری/باربرداری از سطح توپوگرافی، باعث جابجایی ژرف توده سنگی شود.

در مطالعات صحرایی که بر روی زمین‌ساخت جنایی گسل گیلاتو-سیه‌چشمه-خوی در حوضه کششی سیه‌چشمه (شکل-های ۱ و ۲) داشتیم، شاهد غلبه سیماهای د.ث.ژ.ش به ساختارهای زمین‌ساختی حوضه‌های کششی بودیم. به منظور درک چگونگی گسترش و فراوانی پدیده‌های د.ث.ژ.ش در منطقه و رابطه آن با ساختارهای مرتبط با حوضه‌های کششی، مولفه‌های مختلف گسل گیلاتو-سیه‌چشمه-خوی مانند سازوکار، آهنگ لغزش و شواهد مورفوکتونیکی این گسل را در دو پاره گسلی گیلاتو-سیه‌چشمه و سیه‌چشمه-خوی بررسی می‌کنیم. بر روی پاره گسلی سیه‌چشمه-خوی با استفاده از سن سنجی رادیوکربن نهشته‌های هولوسن در آبراهه‌های جابجا شده و بر روی پاره گسلی گیلاتو-سیه‌چشمه با استناد به سن تعیین شده برای بازالت‌های بریده شده به روش‌های ^{238}U / ^{206}Pb و ^{39}Ar / ^{40}Ar ، آهنگ لغزش این گسل را محاسبه کرده و تاثیر تغییرات آهنگ لغزش بر روی ژئومورفولوژی حوضه کششی سیه‌چشمه و ارتفاعات محدود کننده آن مورد بررسی قرار گرفته است.

1. Schultz-Ela
2. Deep-Seated gravitational Slope Deformation; DSGS
- 3 . crosta
- 4 . Ambrossi
5. Agliardi
6. Soldati
- 7 . Galadini
- 8 . Bourbank and Anderson
9. Savage

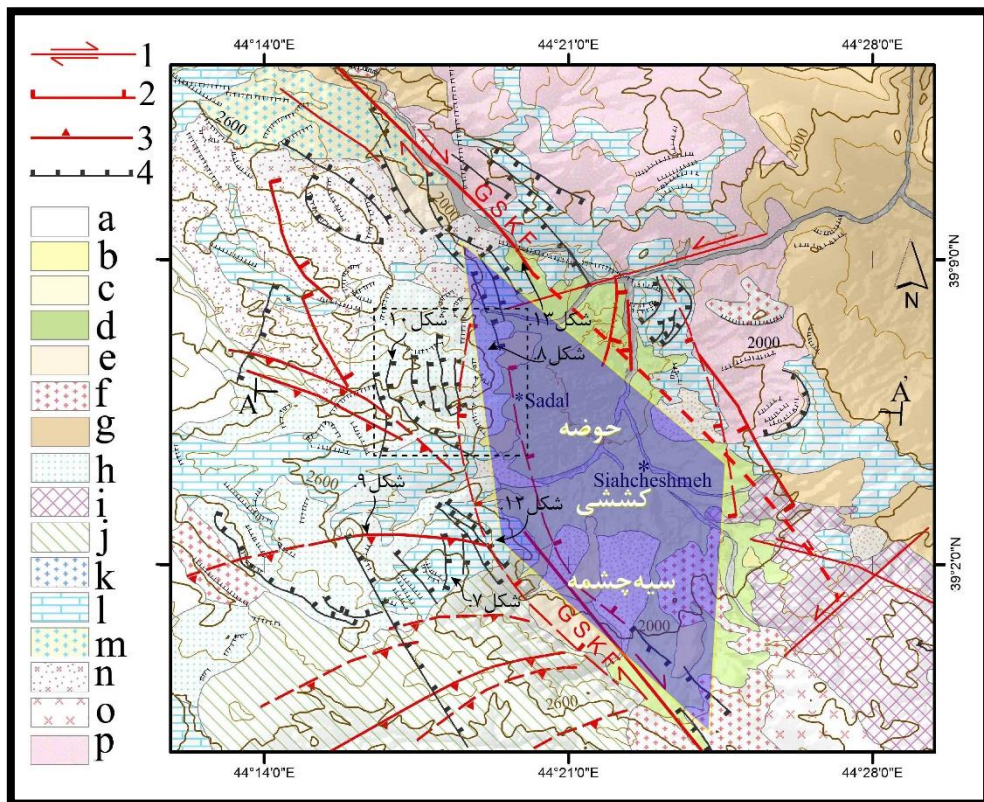


شکل ۱. ا.الف. نقشه ساختاری بخش مرکزی پهنه برخوردی صفحه عربی-اوراسیا، NAF: گسل شمال آناتولی، EAF: گسل شرق آناتولی، ب. نقشه گسل‌های جنبای شمال-غرب ایران و مناطق هم‌جوار (بر گرفته از فربیدی و همکاران، ۴۲۹: ۲۰۱۷؛ همکاران، ۴۰۰: ۲۰۰۴؛ GSKF: گسل گیلاتو-سیه چشممه-خوی (GSKF-GSSs: پاره گسلی گیلاتو-سیه چشممه و GSKF-SKS: پاره گسلی سیه چشممه-خوی)، MF: گسل ماقو، NTF: گسل شمال تبریز. موقعیت شکل‌های ۲، ۵، ۶ و ۱۱ مشخص شده است. A-A' محل برش زمین شناسی در شکل ۸-ب.

اصطلاح "دگریختی ثقلی ژرف شیب (د.ث.ژ.ش)"، اوین با توسط مالقوت^۱ (۱۹۷۷) برای جابجایی‌های ثقلی سنگ‌های آتش‌شانی قرار گرفته بر روی واحدهای مارنی و توفی-رسی بخشی رشته کوه‌های اسلواکی بکار گرفته شد. فرایند د.ث.ژ.ش با نام‌های متعددی از جمله ساکونگ (زیشینسکی^۲، ۱۹۶۶)، گسلش ثقلی (بک^۳، ۱۹۶۸)، خوش ژرف شیب‌ها و دگریختی ثقلی شیب (نمکوک^۴، ۱۹۷۲)، دگریختی خوش ژرف (مار و نمکوک، ۱۹۷۷)، جابجایی‌های ثقلی بلوکی (پاسیک^۵، ۱۹۷۷)، خوش ثقلی یا گسترش ثقلی (رادبروچ-هال^۶، ۱۹۷۸)، دگریختی شیب (مار و بالیاک^۷، ۱۹۷۳)، خوش ژرف (دنگ^۸، ۲۰۰۰) و گسترش ثقلی پشت‌های (هرمن و بک^۹، ۲۰۰۳؛ وارنز و همکاران، ۱۹۸۹) مطالعه و معرفی شده است. در مطالعه‌ای که ترزاقی^{۱۰} (۱۹۶۲: ۲۶۹) بر روی پارامترهای نرخ پایداری شیب‌های تند انجام داده بود، بیان داشت که «به طور تجربی، هنوز هیچ اطلاعاتی درباره سازوکار لغزش ژرف سنگ‌ها در مقیاس بزرگ در دسترس نیست». در طی پنج دهه اخیر و پس از اظهار نظر او، مطالعات موردنی، نظریات و مدل‌های مختلفی از جنبه‌های ساختاری و زمین‌ساختی (آغیلاردی و همکاران، ۱۰۲: ۲۰۰۱-۱۰۳)، ریخت‌شناسی و زمین‌شناسی (نمکوک، ۱۹۷۷) و تغییرات بزرگ آب و هوایی وسیع (بوربانک اندرسون،

1. Malgot
2. Zischinsky
3. Beck
4. Nemcök
5. Pasek
6. Radbruch-Hall
7. Baliak
8. Deng
9. Hermann and Becker
10. Terzaghi

۲۰۱) صورت گرفته است. تاکنون بیشترین مطالعات موردی (د)های).ث.ژ.ش^۱ در کوهزاد آلپ صورت گرفته است که در اغلب موارد، این پدیده را در ارتباط با دوره های یخچالی و زمین لرزه ها معرفی کرده اند (آغلياردي ۲۰۰۹، ۲۰۰۱ و ۲۰۱۳).



شکل ۲. نقشه زمین شناسی و ساختاری حوضه کششی سیه چشم. ۱: گسل امتدادگز (راستگرد)، ۲: گسل نرمال، ۳: گسل معکوس (خط چین: تخمینی یابدون رخمنون مستقیم سطحی)، ۴: محل افزار دگریختی ثقلی ژرف شبیب، نقشه سنگ‌شناسی (اقتباس از نقشه مجیدی و قلمقاش، ۱۳۸۳): a: نهشته های عهد حاضر رودخانه ای، b: نهشته های مخروط افکنه ای جوانتر، c: طبقات آهکی و مارنی هم ارز سازند قم، d: دشت سیه چشم، e: تراس رودخانه ای، f: روانه های بازالتی کواترنری، g: طبقات آهکی و مارنی هم ارز سازند قم، h: گدازه و توف آندزیتی نتوزن، i: مجموعه افیولیتی کرتاسه-پالئوزن، j: توالی های توربیداتی کرتاسه، k: گبدهای داسیتی، l: طبقات آهکی انسن، m: گدازه داستی پالئوزن، n: آمیزه تکتونیکی مجموعه افیولیتی، o: سنگ های اولترا امافیکی (مجموعه افیولیتی)، p: گدازه های بازالتی مجموعه افیولیتی. محل شکل های ۱۲، ۱۰، ۹، ۸، ۷ و ۶ مشخص شده است. چهارگوش آبی رنگ محدوده حوضه کششی سیه چشم را نشان می دهد.

چشم اندازهای شکل گرفته در پهنه های د.ث.ژ.ش:

به طور معمول، محل جدایش ها و شکستگی های متاثر از این فرایند در مقایسه با سایر حرکت های شبیب، به دلیل آهنگ جابجایی اندک آن و تاثیر عوامل فرسایش سطحی، واضح نبوده و غالباً به راحتی قابل تشخیص نیستند (آغلياردي و همكاران، ۲۰۰۱؛ ۸۴). افزاههای رو به بالای شبیب که به موازات یا با ریک کمی نسبت به امتداد شبیب در بخش های میانی و بالایی شبیب تشکیل می شوند، به عنوان فرایندهای کششی و چشم اندازهای برآمدگی^۲ و توده سنگ شدیدا خرد شده به عنوان فرایندهای فشارشی در بخش پنجه د.ث.ژ.ش از جمله مهمترین چشم اندازهای شکل گرفته در اثر این فرایند شناخته

^۱ دگریختی های ثقلی ژرف شبیب

² bulging

شده‌اند. در برخی موارد، به دلیل برآمدگی و افزایش رخدادهای ناپایداری شبیی در اثر پیشرفت فرایند دگریختی، مانند زمین لغزش، بهمن سنگ، افت سنگ و لغزش سنگ (آگلیاردی و همکاران، ۱۹۷۷: ۲۰۱۳؛ ۱۹۶۳: ۲۰۱۳؛ رادبروج-هال و همکاران، ۱۹۷۷: ۳۵۹-۳۶۳)، چشم اندازهای فشارشی در بخش پنجه د.ث.ژ.ش مشاهده نمی‌شوند (کروستا و همکاران، ۱۹۷۳: ۲۰۱۳). پشت‌های دوگانه و چندگانه^۱ (کروستا و همکاران، ۱۹۶۷: ۱۴-۲۰؛ ترانشه، گرابن و نیم‌گرابن در بالاترین بخش‌های شیب (رادبروج-هال و همکاران، ۱۹۷۶: ۲۵؛ بک، ۱۹۶۷)، ترک‌های کششی در بخش‌های بالای شیب (فدا، ۱۹۷۳) از دیگر چشم اندازهای ریخت‌ساختاری (های) د.ث.ژ.ش‌ها هستند. دریاچه‌ها، حوضچه‌های کوچک، ستیغ دوگانه روی پشته و بازشدگی‌های خطی اغلب در پشت افزار صفحه برشی تشکیل می‌شوند (مار، ۱۹۷۷: ۱۲۲). غالباً در سنگ‌های با مقاومت بالا (مانند گرانیت‌ها) از جمله در بخش‌های میانی و بالایی شیب، افزایش‌های رو به بالای تپه^۲ تشکیل می‌شوند. رخداد این افزایش‌ها در امتداد خط الرس پشته، معمولاً باعث ایجاد اشکال گرابنی شکل با طول صدها متر، عمق ۶۰ متر و پهنای ۵۰ تا ۱۰۰ متر را تشکیل می‌دهند (رادبروج-هال، ۱۹۷۶: ۲۷). فراوانی رخدادهای د.ث.ژ.ش در ارتفاعات بسیار بالا، کم است که این می‌تواند در نتیجه غلبه لغزش‌های شبیی ممتد به فراخاست منطقه متأثر از این رخداد در نظر گرفته شود.

چشم اندازهای ریخت-ساختاری^۳ (های) د.ث.ژ.ش روندهای خطی گسل‌ها، درزهای زون‌های برشی، برگوارگی و طبقه بندی یا عناصر چینه شناختی مانند تقاطع سنگ‌شناختی (آگلیاردی و همکاران، ۲۰۰۹؛ کروستا و همکاران، ۲۰۱۳: ۱۵) با گسترگی سطحی قابل توجه را دنبال می‌کنند. وجود این پدیده‌ها، تاثیر قابل توجهی در کاهش ارتفاع توپوگرافی داشته (آگلیاردی و همکاران، ۱۹۷۳: ۲۰۱۳) و یکی از مهمترین عامل‌ها در فرسایش برخی پهنه‌های کوهستانی محسوب می‌شوند (کروب^۴، ۲۰۰۷: ۵۷۹). این پدیده‌ها در برخی موارد سطوح لغزش ممتدی نداشته و به صورت پله مانند در راستای شیب ادامه می‌یابند ولی با اینهمه در اغلب موارد حتی این پله‌ها نیز روند خطی نسبتاً مشخصی را دنبال می‌کنند (بیس‌سی، ۱۹۹۶: ۳۵۷).

سازوکار تشکیل و فرگشت رخدادهای د.ث.ژ.ش:

فدا (۱۹۷۳) در نظریه خود ۳ تا ۴ مرحله را برای تشکیل و گسترش دگریختی شبیی معرفی می‌کند (شکل ۳). بر اساس این نظریه، ابتدا ترک‌های کششی در راس شیب شروع شده (بخش ۱ در شکل ۳-الف) و سپس سطوح لغزش در بخش پنجه شیب شکل می‌گیرند (بخش ۲ نزدیک به پنجه، در شکل ۳-ب). پس از آن یا همزمان با مرحله قبلی سطوح برشی از راس شیب گسترش پیدا کرده (بخش ۲ نزدیک به راس گسیختگی در شکل ۳-ج) و تا بخش مرکزی ادامه می‌یابد (بخش ۳ در شکل ۳-د). دگریختی در بخش میانی شکل پذیرتر بوده و با فراوانی درزهای درزهای متقاطع مشخص می‌شود (مار و نمکوک، ۱۹۷۷: ۱۲۲-۱۲۳؛ نمکوک، ۱۹۶۸). همچنین در مدلی که زیشینسکی (۱۹۶۶) در مطالعه بر روی دگریختی شبیی در مناطق دگرگونی اتریش بیان کرد، دگریختی شکنا را مربوط به راس شیب و ابتدایی‌ترین مرحله لغزش در نظر می‌گیرد (شکل ۴). بر اساس این مدل، دگریختی شکل پذیر تا انتهای پنجه ادامه پیدا می‌کند و به جز مواردی که لغزش شبیی منطبق با برگوارگی است می‌توان مقدار لغزش را نیز با توجه به خمیدگی برگواره‌ها محاسبه کرد. (های) د.ث.ژ.ش در مناطق با نرخ فراخاست متوسط، بیشتر دیده می‌شوند و فراوانی آنها رابطه منفی با میزان بارش (!) دارد (آگلیاردی و همکاران، ۲۰۱۳: ۲۷۲).

1. double and multiple ridges

2. Feda

3. Up-hill-facing scarps

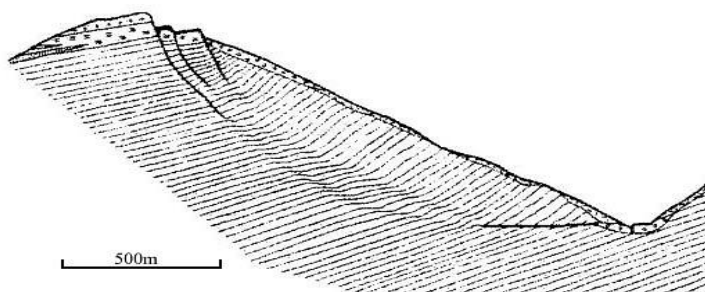
4. morpho-structure

5. Korup



شکل ۳. مراحل د.ث.ز.ش. فدا، ۱۹۷۳.

به طور کلی تکامل (های) د.ث.ز.ش با رفتار توده سنگ در عمق دگریختی در ارتباط می‌باشد، جایی که فشار محدود کننده بالاتری در آنجا حاکم است (سولداتی، ۲۰۱۳: ۱۵۲). این فشار همه جانبه، مانع تشکیل یک سطح لغزش تعريف شده مشخص در این عمق می‌شود (مار و نمکوک، ۱۹۷۷: ۱۲۳) که در نتیجه، دگریختی شکل پذیری در این عمق رخ می‌دهد. در مقایسه با زمین‌لغزش، مرز جانبی (های) د.ث.ز.ش معمولاً به طور روشن قابل تشخیص نبوده و اغلب آنها مرز تدریجی دارند (کروستا و همکاران، ۲۰۱۳: ۱۴). از جنبه زیشی، این ساختارها گاهی با عنوان فرایندهای کششی مطالعه می‌شوند و به طور مستقیم تحت تاثیر شرایط زمین شناختی منطقه می‌باشند (کروستا و همکاران، ۲۰۱۳: ۱۴).



شکل ۴. برش عرضی از د.ث.ز.ش. زیشینسکی (۱۹۶۶)

گسل گیلاتو-سیه چشمeh-خوی و جایگاه زمینساختی آن

سامانه بزرگ گسل‌های امتدادلغز واقع در پهنه برخوردی صفحه‌های قاره‌ای عربی-اوراسیا در بردارنده گسل‌های امتدادلغز راستبر جنبایی می‌باشد (سلجوق^۱ و همکاران، ۲۰۱۶: ۱۵۷) که گسل گیلاتو-سیه چشمeh-خوی با درازای حدود ۲۰۰ کیلومتر با سازوکار راستالغز راستبر (برای مثال بربریان^۲: ۱۹۹۷: ۲۵۹) در بخش میانی این سامانه قرار دارد. اولین مطالعات دریاره این گسل، توسط پژوهشگرانی چون چالنکو^۳ (۱۹۷۷) و بارکا و کادینسکی کید^۴ (۱۹۸۸: ۶۷۷) صورت گرفته و در تمام آنها به سازوکار راستبر این گسل اشاره شده است. سازوکار جنبشی راستبر این گسل در داده‌های سازوکارهای کانونی زمین‌لرزه‌ای نیز کاملاً مشخص است. این گسل از دریاچه گیلاتو (بالیخ گوئی) ترکیه در شمال باخترا داشت خوی با روند کلی N145° (برای مثال بارکا و کادینسکی کید، ۱۹۸۸: ۶۷۷؛ کوپلی و جکسون^۵: ۲۰۰۶؛ ۱۱: ۲۰۰۶) ادامه یافته (شکل ۱) و در راستای خود، غالباً مجموعه افیولیتی نئوتیس (قاضی^۶ و همکاران، ۲۰۰۳؛ شنگور^۷: ۱۹۹۰) مجموعه‌های آشفشانی

1. Selçuk
2. Berberian
3. Tchalenko
4. Barka & Kadinsky-Cade
- 5 . Copley and Jackson
6. Ghazi
7. Sengor

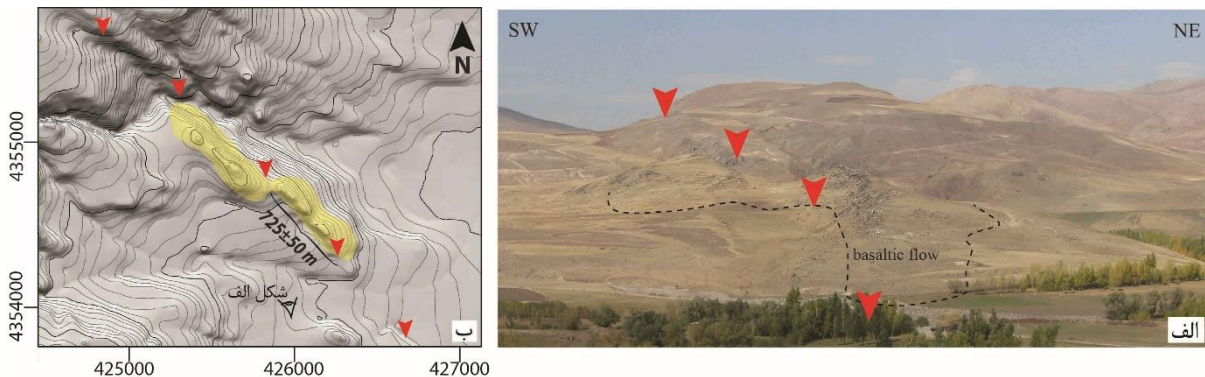
کمربند آندزیت-لاتیت نتوژن (شارکو^۱ و همکاران، ۲۰۱۵) و پهنه بازالتی نتوژن-کواترنری (آلن و همکاران، ۲۰۱۱) را قطع می‌کند.

کاراخانیان^۲ و همکاران (۲۰۰۲ و ۲۰۰۴) وجود ارتباط گسلی پله به راست در امتداد این گسل را مسبب تشکیل چهار ساختار حوضه کششی^۳، یکی دوغوبایازیت ترکیه و سه ساختار کششی دیگر در ایران در مناطق کلیسا کندی (آواجیخ)، سیه چشمeh و زرآباد می‌دانند. ساختارهای کششی، مانند حوضه‌های کششی و خم‌های کششی در طول گسل‌های امتدادلغز می‌توانند مانع در برابر گسترش زمین‌لرزه بوده و یا عاملی برای تغییر رفتار گسل‌ها در دو سوی محدوده کششی باشند (بارکا و کاردینسکی کید، ۱۹۸۸). با در نظر داشتن این مسئله و نیز مورفولوژی متفاوت در دو سوی امتداد گسل گیلاتو-سیه چشمeh-خوی نسبت به حوضه کششی سیه چشمeh، زمین‌ساخت جنبای این گسل را در دو سوی شمال‌باختری و جنوب‌خاوری حوضه کششی سیه چشمeh، به ترتیب در دوپاره گسلی گیلاتو-سیه چشمeh و سیه چشمeh-خوی مطالعه می‌کنیم:

پاره گسلی گیلاتو-سیه چشمeh

پاره گسلی گیلاتو-سیه چشمeh با درازای حدود ۱۱۰ km از دریاچه گیلاتو ترکیه تا دیواره شمال‌باختری حوضه کششی سیه چشمeh با روند کلی N140°E ادامه می‌یابد. حدود ۷۰ کیلومتر از این گسل در ترکیه واقع شده و با نام گسل بالیخ گؤلی در چهار پاره گسلی نسبتاً موازی پله به راست و پله به چپ معرفی شده است (بارکا و کاردینسکی کید، ۱۹۸۸). این پاره گسلی از شمال حوضه کششی سیه چشمeh تا آواجیخ، در دو شاخه موازی هم با فاصله ۵–۲ km نسبت به هم و با سازکار جنبشی راستالغز راستبر امتداد می‌یابد (شکل ۱). کوپلی و جکسون (۲۰۰۶:۱۲) با در نظر گرفتن سن شروع فعالیت گسل گیلاتو-سیه چشمeh-خوی بین ۳/۵ تا ۶/۵ میلیون سال و جابجایی تخمین زده شده چشم اندازه‌های ژئومورفولوژیکی حدود ۱۳ کیلومتر در طول این گسل، آهنگ لغزش yr^{-1} ۴–۲ mm را برای این گسل در نظر گرفته‌اند. مهمترین جابجایی اندازه‌گیری شده راستبر در این پاره گسلی، سنج‌های بازالتی ذکر شده به طور مستقیم بر روی نهشته‌های توفی داسیتی قرار گرفته‌اند که لخمن^۴ و همکاران (۲۰۱۸) با استفاده از سن یابی به روش U^{238}/Pb^{206} ، سن روانه‌های بازالتی (بخش زرد رنگ در شکل ۵-ب) را ky ۳۹۶ به دست آورده‌اند. با توجه به این جابجایی، آهنگ لغزش افقی راستبر mm/yr 50 ± 725 در طول سنتیخ تپه بازالتی در شمال شهر آواجیخ می‌باشد (شکل ۵). در محل این جابجایی، سنج‌های بازالتی ذکر شده به طور مستقیم بر روی نهشته‌های توفی داسیتی قرار گرفته‌اند که لخمن^۴ و همکاران (۲۰۱۸) با استفاده از سن یابی به روش U^{238}/Pb^{206} ، سن روانه‌های بازالتی (بخش زرد رنگ در شکل ۵-ب) را ky ۱۱۸۴ به دست آورده‌اند. با توجه به این جابجایی، آهنگ لغزش افقی راستبر mm/yr 10 ± 83 برای این پاره گسلی به دست می‌آید. آلن و همکاران (۲۰۱۱:۱۱۸۴) سن این بازالت را به روش Ar^{39}/Ar^{40} به 10 ± 490 ky به دست آورده‌اند که با استناد به این سن برای بازالت شمال شهر آواجیخ و با توجه به مقدار جابجایی‌های راستبر اندازه‌گیری شده، آهنگ لغزش افقی پاره گسلی گیلاتو-سیه چشمeh، mm/yr 10 ± 47 تخمین زده می‌شود. به طور کلی با در نظر داشتن دو سن ذکر شده، می‌توان آهنگ لغزش افقی میانگین پاره گسلی گیلاتو-سیه چشمeh را mm/yr 10 ± 65 در نظر گرفت.

1. Sharkov
2. Karakhanian
3. pull-apart basin
4. Lechmann

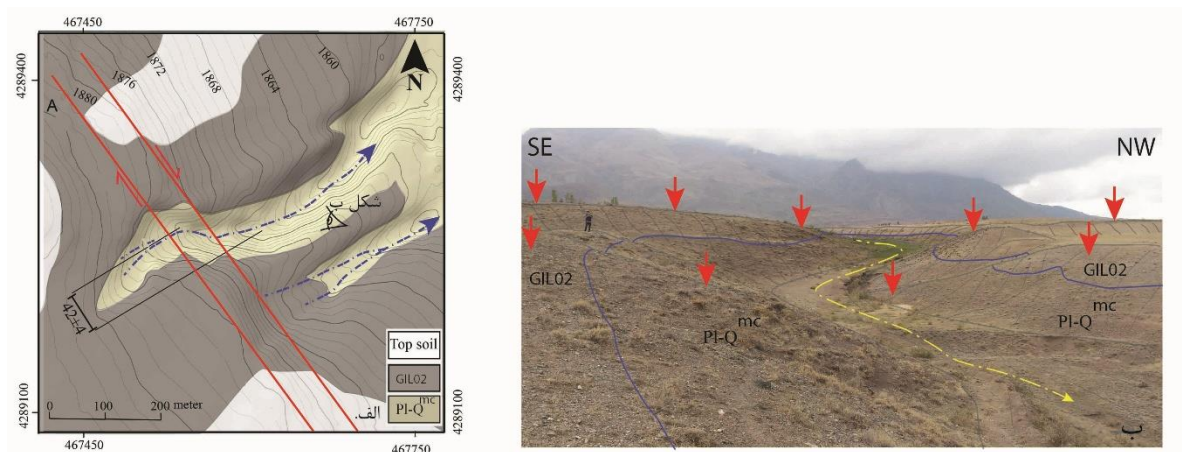


شکل ۵. نمایی از بریدگی تپه بازالتی در شمال شهر آوجیغ، محل دید در شکل ب مشخص شده است. ب، رخمنون بازالت‌ها بر روی مدل ارتفاع رقومی 10 m با محدوده زرد رنگ نشان داده شده است.

پاره گسلی سیه‌چشمه-خوی

پاره گسلی سیه‌چشمه-خوی با درازای حدود 65 km از دیواره جنوب‌باخته حوضه کششی سیه‌چشمه تا شمال دشت خوی ادامه داشته و بریدگی‌های ریخت‌زمین‌ساختی متعدد حاصل از عملکرد این پاره گسلی به ویژه در پهنه زرآباد در نهشته‌های مخروط افکنه‌ای جوان، نمایانگر جنبایی کنونی این پاره گسلی می‌باشد. مهمترین واحدهای جوان متأثر از فعالیت پاره گسلی سیه‌چشمه-خوی، نهشته‌های مخروط افکنه‌ای و تراس‌های رودخانه‌ای کواترنری در شاخه میانی این پاره گسلی می‌باشد. شواهد ریخت‌زمین‌ساختی نشانگر اینست که این شاخه شکل (۱).

در منطقه زرآباد در افزار گسلی، سن جوان‌ترین نهشته دیواره آبراهه جابجا شده (شکل ۶) به مقدار $4 \pm 42\text{ m}$ با شماره نمونه GIL-02 که به روش رادیوکربن در دانشگاه ETH زوریخ انجام صورت گرفت برابر با $238 \pm 6764\text{ calBC}$ به دست آمده است. بنابراین با توجه به مقدار بریدگی این آبراهه، کمینه آهنگ لغزش افقی این پاره گسل $40 \pm 8/2\text{ mm yr}^{-1}$ محاسبه شده است (شکل ۶).



شکل ۶. الف، نمایی از جابجایی راست‌برآبراهه در دشت زرآباد و ب، موقعیت آبراهه جابجا شده و محدوده نهشته‌های پالئو-کواترنری (PI-Q^{mc})، هلوسن (نمونه GIL02) و خاک سطحی و نیز محل پاره گسلی سیه‌چشمه-خوی بر روی نقشه توپوگرافی تهیه شده توسط جی پی اس دوفر کانسه آورده شده است. جابجایی راست‌برآبراهه $4 \pm 42\text{ m}$

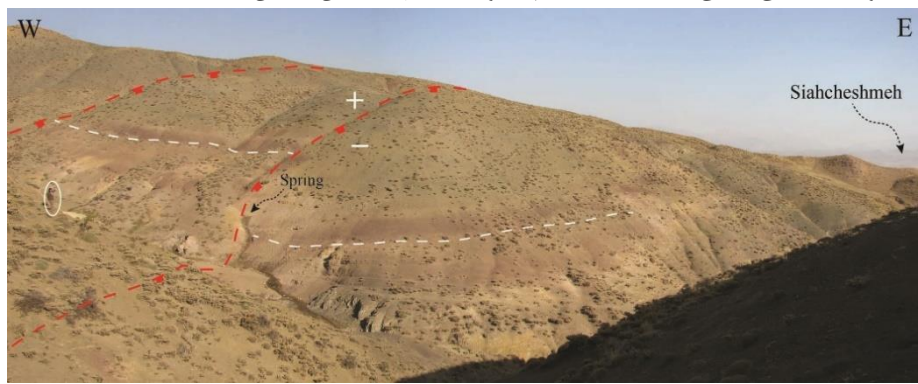
حوضه کششی سیه چشمeh:

حوضه کششی^۱ سیه چشمeh با یک سازوکار خم رهای^۲ در ساختار پله به راست (کاراخانیان و همکاران، ۲۰۰۴؛ آن و همکاران، ۲۰۱۱؛ ۱۱۷۷) در امتداد گسل گیلاتو-سیه چشمeh-خوی تشکیل شده است، به صورتی که جناح شرقی و غربی این حوضه کششی به ترتیب منطبق بر انتهای جنوب‌خاوری و شمال‌باختری پاره‌های گسلی گیلاتو-سیه چشمeh و سیه-چشمeh-خوی، با همپوشانی حدود ۱۳ کیلومتر و جدایش ۵ کیلومتر می‌باشد. بروند مجموعه افیولیتی، طبقات کربناته و توربیدیاتی مزو佐ئیک بالایی و پالتوژن، طبقات کربناته معادل سازند قم، مجموعه سنگ‌های آتشفسانی و نهشته‌های توفی سنزو佐ئیک-کواترنری و نیز نهشته‌های مخروط افکنه‌ای و تخریبی کواترنری (مجیدی و قلمقاش، ۱۳۸۵)، مهمترین واحدهای زمین‌شناختی این حوضه کششی و ارتفاعات محصور کننده آن را تشکیل می‌دهد (شکل ۲).

مهتمرين عوامل موثر در ناپايداري‌های شببي حوضه کششی سیه چشمeh:

مجموعه ساختاري گسلش نرمال در حوضه کششی سیه چشمeh:

گسل‌های نرمال مهمترین مجموعه ساختاري شکل گرفته در اثر همپوشانی پله به راست گسل راستگرد گیلاتو-سیه چشمeh-خوی حوضه کششی سیه چشمeh به شمار می‌آيد که فرگشت ساختاري آنها باعث رخدادهای د.ث.ژ.ش و زمین‌لغزش در شبب‌های ارتفاعات این حوضه شده می‌شود. بدون شک مهمترین عامل زايشی کنترل کننده تشکیل این گسل‌ها را باید در سازوکار کششی متاثر از هندسه خم رهایی جستجو کرد. گسل‌های نرمال، اغلب به موازات روند کلی گسل بوده و به طور معمول آثار سطحی آن را می‌توان در بروند دره‌های جناح خاوری و با فراوانی بیشتر در جناح باختری این حوضه مشاهده می‌شوند. چنین استنباط می‌شود که همزمان یا پس از شکل گیری گسل‌های نرمال یا جابجایی بر روی سطح گسلی موجود، عامل زايشی گرانش زمین باعث ناپايداري شبب در ارتفاعات بالادست خود شده و در امتداد سطح شبب، سبب تشکیل پدیده د.ث.ژ.ش می‌شوند. با اين حال، به نظر می‌رسد که بخش بزرگی از گسل‌های نرمال و پایانه‌های پاره‌های گسلی گیلاتو-سیه چشمeh و سیه چشمeh-خوی توسط د(های).ث.ژ.ش مدفون می‌شوند. در ارتفاعات جناح باختری حوضه کششی سیه چشمeh، پدیده د.ث.ژ.ش با طول گسيختگي گاهی تا بيش از ۶ کیلومتر و پهنانی ۵ کیلومتر تشخيص داده شده است (شکل ۲). مقدار و نوع جابجایی را به راحتی می‌توان در ارتفاعات پايانن، از جمله در رخمنون دره‌های طبقات توربیدياتی جنوب باختری این حوضه تشخيص داد. شکل ۷، تصویری از گسلش نرمال در ارتفاعات پائين بخش جنوب باختری حوضه کششی را می‌باشد که افت قائم حدود ۱۵ متری در آن نمایان است.

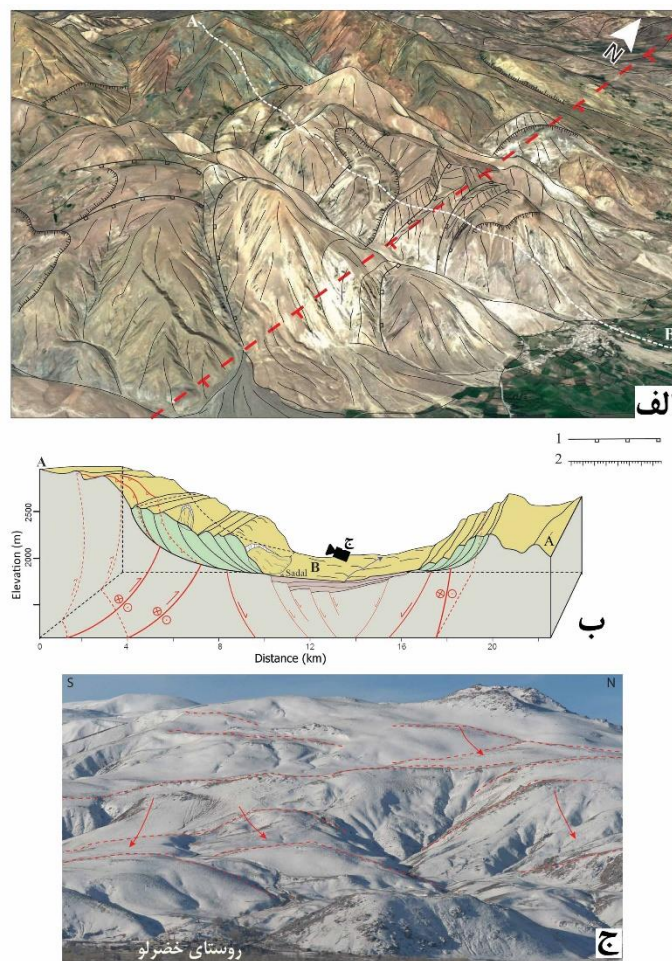


شکل ۷. گسل نرمال در ارتفاعات بخش باختری حوضه کششی سیه چشمeh. افت قائم، حدود ۱۵ متر.

¹ Pull-apart basin

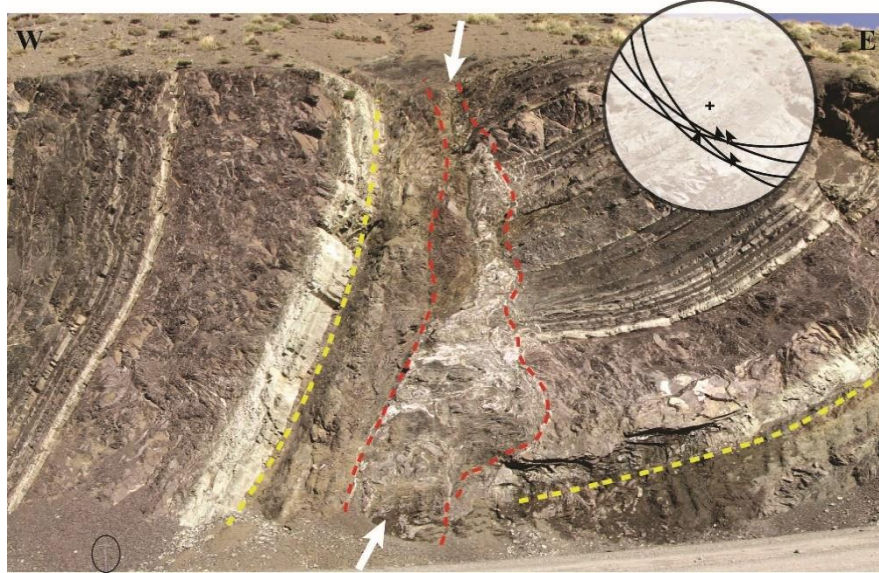
² Releasing bend

تفاوت آهنگ لغزش پاره‌های گسلی گیلاتو-سیه‌چشم و سیه‌چشم-خوی و فراخاست محلی: گرانش زمین، در پاسخ به فراخاست حاصل از جابجایی شاقولی بر روی گسل‌ها (قالادینی، ۲۰۰۶: ۲۰۲) یا فراخاست منطقه‌ای (دی آگوستینو^۱ و همکاران، ۲۰۰۱: ۴۹۲) و ایجاد توازن در مورفوولوژی منطقه تحت تاثیر، می‌تواند با حرکت‌های رو به پایین در شبیب پشته‌ها و ارتفاعات باعث تشکیل پدیده د.ث.ژ.ش شود. بالا بودن آهنگ لغزش پاره گسلی سیه‌چشم-خوی ($1/0 \pm 65/1 \text{ mm/yr}$) نسبت به پاره گسلی گیلاتو-سیه‌چشم ($4/0 \pm 8/2 \text{ mm/yr}$)، باعث فراخاست زمین در پایانه شمال‌باختری پاره گسلی سیه‌چشم-خوی واقع در بخش باختری حوضه کششی سیه‌چشم شده است (نیمه باختری شکل ۲). پدیده فراخاست طی راندگی‌های در افسانه‌های با روند شمال‌باختری-جنوب‌خاوری در پایانه شمال‌باختری این پاره گسلی رخ داده است (شکل‌های ۱، ۲، ۸ و ۱۱) و گرانش زمین در پاسخ به این فراخاست، سبب بروز ناپایداری‌های شبیبی در قالب (های).د.ث.ژ.ش و زمین لغزش‌های بزرگ شده است (شکل ۸). برخی از ساختارهای فشارشی را می‌توان در رخنمون‌های ارتفاعات بالاتر بخش باختری حوضه کششی سیه‌چشم مشاهده کرد (شکل ۹) و چنین به نظر می‌رسد که اثر سطحی این ساختارها از جمله در ارتفاعات پائینتر نیز در زیر (های).د.ث.ژ.ش مدفون شده‌اند.



شکل ۸. الف. نمایی از پدیده‌های د.ث.ژ.ش. در بخش باختری حوضه کششی سیه‌چشم. ۱، محل افزار د.ث.ژ.ش و ۲، محل تاج زمین لغزش. خط چین سفید رنگ (A و B) محل تقریبی برش شماتیک شکل ب را نشان می‌دهد. خط چین قرمز، موقعیت تخمینی گسل نرمال اصلی در زیر توده لغزید شده است. ب، شکل شماتیک سه بعدی از ناپایداری‌های شبیبی در حوضه کششی سیه‌چشم.

محل برش‌های زمین‌شناسی A-A' و A-B به ترتیب در شکل‌های ۱ و ۸-الف مشخص شده است. ج، بخش از رخداد د.ث.ژ.ش در شیب‌های باختری حوضه کششی سیه چشم. محل روستای خضرلو در این شکل مشخص است.



شکل ۹. گسل معکوس در مجموعه توربیدایتی بخش باختری حوضه کششی سیه چشم.

تغییر رئولوژی افق‌های سنگ‌شناسی:

تفاوت سنگ‌شناسی و تغییرات رئولوژیکی واحدهای زمین‌شناسی، عامل مهمی در مساعد ساختن شرایط ناپایداری شیبی به شمار می‌رود (پاسوتو^۱ و سولدادی، ۲۰۱۳: ۲۴۰). مهمترین تغییرات سنگ‌شناسی در پهنه‌های د.ث.ژ.ش در توالی‌های سنگ‌های آتشفسانی (با وزن حجمی زیادتر و رفتار شکناتر) با نهشته‌های توف داسیتی (با رفتار شکل پذیرتر) رخ داده است (شکل ۲) یعنی تقریباً مشابه با منطقه‌ای که مالقوت (۱۹۷۷) در آنجا برای اولین بار د.ث.ژ.ش را معرفی و بیان کرد. نهشته‌های توفی با رئولوژی شکل‌پذیرتر خود نسبت به سنگ‌های آتشفسانی رویی، باعث ناپایداری این سنگ‌ها می‌شود.

۹. بازترین چشم اندازهای مرتبط با د.ث.ژ.ش در حوضه کششی سیه چشم:

افرازهای رو به بالای تپه از جمله شاخص‌ترین چشم اندازهای شکل گرفته در پهنه‌های د.ث.ژ.ش می‌باشند. بهترین نمود این افرازها را می‌توان در ارتفاعات روستای سعدل، واقع در بخش باختری حوضه کششی سیه چشم مشاهده کرد که گاهی ارتفاع این افرازها به بیش از ۴۰ متر می‌رسد (شکل ۸-الف). شیب سطح لغزش آنها همسو با شیب عمومی توپوگرافی بوده و در رخمنونهای دره متنهی به روستای سعدل به خوبی قابل مشاهده هستند (شکل ۱۰). مقدار لغزش بر روی این سطوح با در نظر داشتن سطح افزار، بین ۲۰ تا ۵۰ متر محاسبه شده است. با توجه به رخمنون سطوح لغزش (شکل ۸-الف) در سطح و نیز برونزدهای این سطوح در برش‌های عرضی (شکل ۱۰)، چنین استنباط می‌شود که ژرفترین سطح لغزش اصلی د.ث.ژ.ش نسبت به سطح توپوگرافی حدود ۳۰۰ متر باشد (شکل ۸-ب) گرچه در بخش‌هایی مانند ارتفاعات روستای نبی‌کندی و خضرلو (شکل ۸)، عمق لغزش به ۲۰۰ متر نیز نمی‌رسد. طول موازی با جهت لغزش و پهنه‌ای (های) د.ث.ژ.ش در این بخش به ترتیب بین ۲-۵ کیلومتر و ۲-۸ کیلومتر تخمین زده می‌شود.



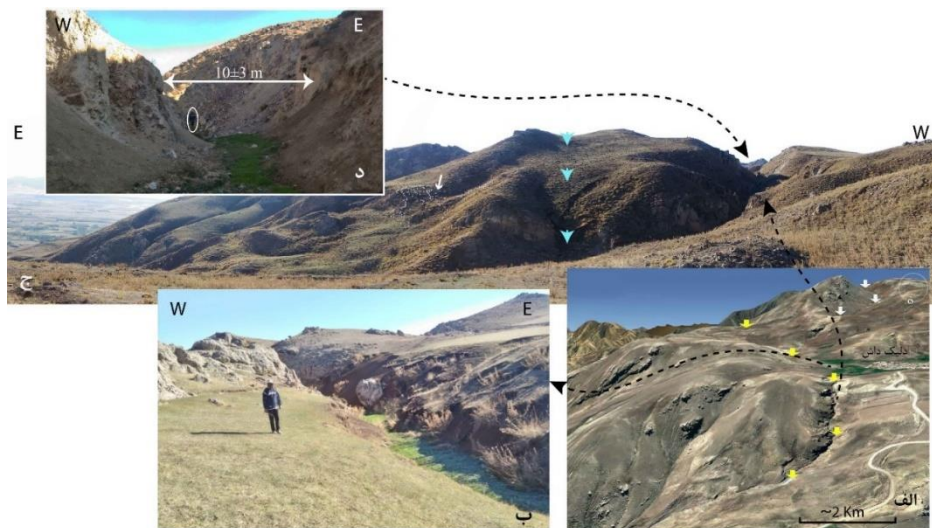
شکل ۱۰. سطح لغزش د.ث.ر.ش. در بخش باختری حوضه کششی سیه‌چشم.

ساخтарهای افزار رو به بالای تپه با شیب لغزش مخالف با شیب توپوگرافی در جنوب‌باختری ترین شیب‌های حوضه کششی سیه‌چشم به صورت پله‌های افقی موازی هم نمود دارند (شکل ۱۱). این ساخтарها اولین بار توسط زیشنیسکی (۱۹۶۶) و رادبروج-هال و همکاران (۱۹۷۶) با عنوان ساکونگ^۱ مطالعه و معرفی شده است و در مطالعات بعدی از جمله گوتهرز^۲ و همکاران (۱۸۸۰:۲۰۰۸) و آغلیاردی و همکاران (۲۰۰۱:۱۵۲) سازوکار و عوامل موثر در تشکیل این ساخтарها به تفصیل بیان شده است (شکل ۱۱-ب). با اینحال، سولدادتی (۲۰۱۳:۲۰۱۳) سطوح لغزش موازی با توپوگرافی که باعث تشکیل افزارهای مخالف شیب توپوگرافی شده‌اند را نیز با عنوان ساکونگ معرفی می‌کند. در انتهای جنوبی حوضه کششی سیه‌چشم، چشم اندازهای پله‌مانند این افزارها را می‌توان از سه کیلومتری جاده خروجی شهر سیه‌چشم به سمت خوی با نگاه به سمت باختر بر روی شیب‌های ارتفاعات دیواره‌های باختری حوضه مشاهده کرد. در این منطقه، حداقل ۶ سطح لغزش قابل تشخیص بوده که امتداد هر کدام از این سطوح به صورت مجزا با پیکان‌های رنگی نشان داده شده است. مهمترین عامل زایش این ساخtar را می‌توان در انطباق با تقسیم بندی زایشی افزارهای رو به بالای تپه توسط گوتهرز و همکاران (۲۰۰۸)، از نوع افزارهای شکل گرفته در اثر فرآختast متاثر گسلش راندگی زیر توده شیبی دگربریخت شده در نظر گرفت. چنانکه اشاره شد، پایانه شمال باختری پاره گسلی راستگرد سیه‌چشم-خوی بتدریج به افسانه‌های راندگی ختم می‌شوند. با توجه به اینکه شیب در بردارنده افزارها در این بخش از پاره گسلی واقع شده است، می‌توان مهمترین عامل زایشی تشکیل این ساخtarها را عملکرد مولفه راندگی پاره گسلی دانست که در نتیجه آن فرآختast توده شیبی رخ داده است (شکل ۸-ب).



شکل ۱۱. الف. نمایی از افرازهای رو به بالای تپه در جنوب باختری حوضه کششی سیه‌چشمه. با استنبط از نظریه گوته‌رُز و همکاران، ۲۰۰۸ (شکل ب). شیب افرازها مخالف با شیب توپوگرافی هستند. هر ردیف از پیکان‌های با رنگ مشابه، نمایانگر یک افراز مجزا هستند.

از دیگر چشم اندازهای شکل گرفته در شیب‌های منتهی به حوضه کششی سیه‌چشمه، ترانشه‌های ثقلی^۱ (قالادینی، ۲۰۰۶: ۲۰۹) یا ترک‌های کششی (فدا، ۱۹۷۳) هستند. این چشم اندازها در راس سطح لغزش د.ث.ژ.ش تشکیل شده و در واقع، مرز بین توده‌های لغزیده شده یا یک توده لغزیده شده با توده‌های ایستا می‌باشد و به طور کلی نقش منفعی در فرگشت (های) دارند (اسپوزیتو^۲ و همکاران، ۲۰۱۳: ۱۰۱). ترانشه‌های ثقلی در اغلب حرکت‌های ثقلی تشکیل شده و غالباً در مراحل اولیه تکامل (های) د.ث.ژ.ش بوجود می‌آیند (فدا، ۱۹۷۳). یکی از بارزترین نوع این ترانشه‌ها در خاور و شمال خاوری روستای دلیک داش واقع در بخش باختری حوضه کششی سیه‌چشمه دیده می‌شود (شکل ۱۲) که با پهنه‌ای گسیختگی حدود ۱۰ متر و طول گسیختگی بین ۴۰۰ تا ۵۰۰ متر در طبقات کربناته ائوسن (شکل ۲) قابل تشخیص است. روند بازشدگی‌های جوانتر به سمت جنوب و جنوب خاوری ادامه داشته و به راحتی می‌توان سطح تازه تشکیل شده این ترانشه را در اطراف روستای دلیک داش مشاهده کرد (شکل ۱۲-ب).



شکل ۱۲. ترانشه باز شده در راس یکی از (های) د.ث.ژ.ش. در شرق روستای دلیک داشی (بخش باختری حوضه کششی سیه‌چشمه). این ترانشه در بالادست شیب در اثر لغزش توده‌ای خاک و سنگ به سمت پائین دست شیب و به مقدار حجم لغزیده شده، باز شده است.

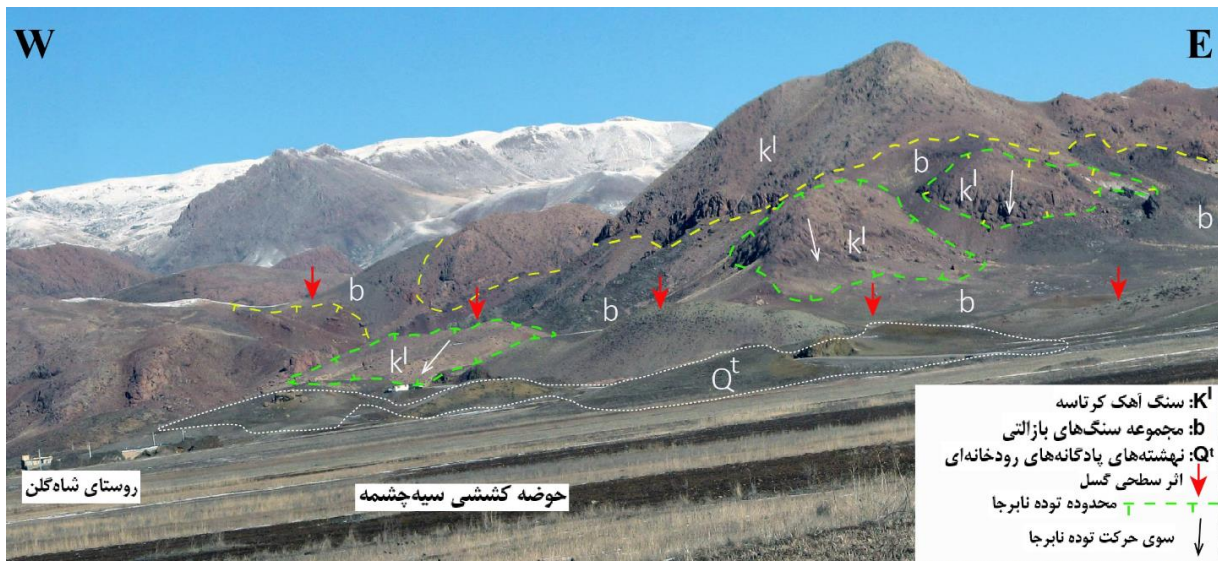
بحث

طی انجام عملیات صحرایی که به منظور تهیه نقشه زمین شناسی در حوضه کششی سیه‌چشمہ انجام گرفت، شاهد به هم ریختگی سنگ شناختی و ژئومورفولوژیکی معناداری در ارتفاعات منطقه بودیم که در نهایت توانستیم با شناسایی چشم‌اندازهای مرتبط با پدیده‌های د.ث.ژ.ش، به نظم ساختاری موجود منطقه پی ببریم. در حوضه کششی سیه‌چشمہ نیز مانند بسیاری از مناطق مشابه، انتظار می‌رفت که شاهد وجود ساختارهای زمین‌ساختی مرتبط با حوضه‌های کششی، مانند گسلش-های نرمال بزرگ مقیاس در بخش بزرگی از مرز دشت سیه‌چشمہ و ارتفاعات محصور کننده آن باشیم. با این وجود، به جز در بخش‌های محدودی از جنوب باختری این حوضه، نتوانستیم اثر سطحی مستقیم گسل‌های نرمال و حتی بخش‌های همپوشان پاره‌های گسلی گیلاتو-سیه‌چشمہ و سیه‌چشمه-خوی را در تصاویر ماهواری یا عملیات صحرایی مشاهده کنیم. مطالعه تصاویر هوایی و ماهواره‌ای در مقیاس بزرگتر، وجود خطواره‌ها و افزارهایی با روندی نسبتاً هم‌راستا با گسل گیلاتو-سیه‌چشمه-خوی و گسترش قابل توجه و نیز چشم‌اندازهای مربوط به حرکت‌های توده‌ای بزرگ، وجود پدیده د.ث.ژ.ش را در منطقه به اثبات رساند.

بخش باختری حوضه کششی سیه‌چشمہ تحت تأثیر فشارش حاصل از عملکرد افسانه‌های گسلی معکوس مربوط به پایانه پاره گسلی سیه‌چشمه-خوی، دچار فرآختاست می‌شود. مولنار و لیون-کان (۱۹۸۹) نشان دادند بالاتر از ارتفاع معینی در پهنه‌های کوهستانی، تنش‌های ثقلی بر تنش‌های افقی زمین‌ساختی غلبه کرده و در نتیجه آن گسترش جانبی توده مواد رخ می‌دهد. بنابراین در این بخش از حوضه کششی، شاهد فراوانی رخدادهای لغزش ثقلی نسبت به بخش خاوری این حوضه هستیم. گسل‌های نرمال حوضه کششی سیه‌چشمہ با کاهش ارتفاع دشت سیه‌چشمہ و در همراهی با نیروی ثقل زمین، موجب سهولت هر چه بیشتر در بروز فرایند د.ث.ژ.ش می‌شوند (شکل ۸-ب). با توجه به گستردنی قابل توجه دهای د.ث.ژ.ش در منطقه، شواهد و دلایل صحرایی مختلف پویایی ناپایداری‌های شیبی، استنباط می‌شود که ساختارهای مرتبط با زایش حوضه کششی در زیر دهای د.ث.ژ.ش مدفون شده‌اند.

نتیجه گیری

شکل گیری و فرگشت ساختاری حوضه کششی سیه‌چشمہ که متأثر از پویایی گسل گیلاتو-سیه‌چشمه-خوی بوده است، باعث بروز پدیده د.ث.ژ.ش در این حوضه شده است. این گسل با تغییر آهنگ لغزش در محدوده حوضه کششی سیه‌چشمه، باعث ناتقارنی در ارتفاع توپوگرافی ارتفاعات محصور کننده دو بخش خاوری و باختری این حوضه شده است. به این صورت که تقابل پایانه جنوب خاوری پاره گسلی گیلاتو-سیه‌چشمہ با نرخ لغزش پائینتر و پایانه شمال باختری پاره گسلی سیه‌چشمه-خوی با نرخ لغزش بالاتر، باعث فرآختست هرچه بیشتر بخش باختری حوضه کششی شده است. عوامل ثقلی زمین در قالب پدیده د.ث.ژ.ش به این فرآختست پاسخ داده و بخشی از افرایش ارتفاع توپوگرافی را جبران کرده است. از سویی دیگر، فرایند کششی در این حوضه کششی سبب تشکیل گسل‌های نرمال در بخش‌های مختلف این حوضه از جمله در بخش‌های میانی شده است. در نتیجه، نیروی ثقل زمین در جبران فرونشت ناشی از عملکرد گسل‌های نرمال باعث حرکت توده‌ای سنگ و خاک به سوی دشت سیه‌چشمه شده است (شکل ۱۳). یکی از مهمترین عواملی که نمی‌توان به وضوح ساختارهای زایشی زمین ساختی، مانند گسل‌های نرمال را در این حوضه کششی مشاهده کرد، مربوط به پوشیده شدن آنها توسط توده سنگ خاک جابجا شده توسط رخدادهای د.ث.ژ.ش می‌باشد.



شکل ۱۳. نمایی از اثر سطحی گسل نرمال (پیکان های قرمز رنگ) که در اثر ایجاد آن، حرکت توده سنگی رخ داده است. سنگ آهک کرتاسه بر روی مجموعه سنگ‌های بازالتی واقع شده و در اثر گسل نرمال، حرکت توده سنگی کرتاسه بر روی بازالت‌ها رخ داده است. بنابراین توده های نابرجایی از سنگ آهک بر روی بازالت دیده می‌شود که در این شکل با خط چین‌های سبز رنگ مشخص شده است. محل این تصویر در شکل ۲ مشخص شده است.

د.ث.ش در ادامه تکامل خود می‌تواند به صورت زمین لغزش‌های بزرگ منطبق با سطوح جدایش د.ث.ش و لغزش توده سنگی یا سنگ افت‌های فاجعه آمیز (نمکوک، ۱۹۷۲؛ بیس سی و همکاران، ۱۹۹۶؛ مار و نمکوک، ۱۹۷۷؛ ۱۲۲-۱۲۳؛ ظهور پیدا کرده و در نتیجه باعث بروز مخاطراتی در سازه های روزمنی و زیرزمینی مانند جاده‌ها و تونل‌ها شود. بطور کلی می‌توان ادعا کرد که تمامی روستاهای ارتفاعات و مجاورت مرز کوه و دشت سیه چشممه از جمله روستاهای سعدل، نبی‌کندي، خضرلو، دلیک داش، تقی کندي و عیسی گولیک در بخش باخته‌ی حوضه کششی سیه چشممه در معرض خطرات احتمالی جنبش د.ث.ش قرا دارد.

سپاسگزاری

از کارشناسان محترم سازمان زمین‌شناسی مرکز تبریز، آقایان محمد فریدی، طاهر خوش‌زار، فیروز رسولی، موسی اکبرزاده و یوسف ارجوی به خاطر همکاری در عملیات صحراوی، صمیمانه تشكیر و قدردانی می‌کنیم.

منابع

- مجیدی، ج؛ قلمقاش، ج، ۱۳۸۳، نقشه زمین‌شناسی ۱:۱۰۰۰۰۰ سیه چشممه، انتشارات سازمان زمین‌شناسی و اکتشافات معدنی کشور.

- Agliardi, F., Crosta, G., & Zanchi, A. (2001). Structural constraints on deep-seated slope deformation kinematics. *Engineering Geology*, 59(1-2), 83-102.
- Agliardi, F., Zanchi, A., & Crosta, G. B. (2009). Tectonic vs. gravitational morphostructures in the central Eastern Alps (Italy): constraints on the recent evolution of the mountain range. *Tectonophysics*, 474(1-2), 250-270.
- Agliardi, F., Crosta, G. B., & Frattini, P. (2012). 18 Slow rock-slope deformation. *Landslides: Types, Mechanisms and Modeling*, 207.
- Agliardi, F., Crosta, G. B., Frattini, P., & Malusà, M. G. (2013). Giant non-catastrophic landslides and the long-term exhumation of the European Alps. *Earth and Planetary Science Letters*, 365, 263-274.
- Allen, M. B., Mark, D. F., Kheirkhah, M., Barfod, D., Emami, M. H., & Saville, C., 2011-40Ar/39Ar dating of Quaternary lavas in northwest Iran: constraints on the landscape

- evolution and incision rates of the Turkish-Iranian plateau. Geophysical Journal International, 185(3), 1175–1188.*
- Ambrosi, C., Crosta, G.B. (2011). *Valley shape influence on deformation mechanisms of rock slopes. In: Jabochedoff, M. (Ed.), Slope Tectonics. Geological Society, London, pp. 215–233.*
 - Ambrosi, C., & Crosta, G. B. (2006). *Large sackung along major tectonic features in the Central Italian Alps. Engineering Geology, 83(1-3), 183-200*
 - Barka, A. A. & Kadinsky-Cade, K., 1988- *Strike-slip fault geometry in Turkey and its influence on earthquake activity. Tectonics, 7, 663–684.*
 - Beck, A. C., 1968. *Gravity faulting as a mechanism of topographic adjustment. New Zealand Journal of Geology and Geophysics, 11(1), 191–199.*
 - Berberian, M., 1997- *Seismic sources of the Transcaucasian historical earthquakes. In: Giardini, S., Balassanian, S. (Eds.), Historical and Prehistorical Earthquakes in the Caucasus. Kluwer Academic Publishing, Dordrecht, Netherlands, pp. 233–311.*
 - Bisci, C., Burattini, F., Dramis, F., Leoperdi, S., Pontoni, F., & Pontoni, F. (1996). *The Sant'Agata Feltria landslide (Marche Region, central Italy): a case of recurrent earthflow evolving from a deep-seated gravitational slope deformation. Geomorphology, 15(3-4), 351-361.*
 - Burbank, D.W., Anderson, R.S., 2001. *Tectonic Geomorphology. Blackwell Scientific, Oxford. 270 pp.*
 - Copley, A., & Jackson, J., 2006- *Active tectonics of the Turkish-Iranian Plateau. Tectonics, 25(6).*
 - Crosta, G. B., Frattini, P., & Agliardi, F. (2013). *Deep seated gravitational slope deformations in the European Alps. Tectonophysics, 605, 13–33.*
 - D'Agostino, N., Jackson, J. A., Dramis, F., & Funiciello, R. (2001). *Interactions between mantle upwelling, drainage evolution and active normal faulting: an example from the central Apennines (Italy). Geophysical Journal International, 147(2), 475–497.*
 - Deng, Q. ., Zhu, Z. ., Cui, Z. ., & Wang, X. . (2000). *Mass rock creep and landsliding on the Huangtupo slope in the reservoir area of the Three Gorges Project, Yangtze River, China. Engineering Geology, 58(1), 67–83.*
 - Esposito, C., Bianchi-Fasani, G., Martino, S., & Scarascia-Mugnozza, G. (2013). *Quaternary gravitational morpho-genesis of Central Apennines (Italy): Insights from the Mt. Genzana case history. Tectonophysics, 605, 96-103.*
 - Faridi, M., Burg, J.-P., Nazari, H., Talebian, M., & Ghorashi, M., 2017- *Active faults pattern and interplay in the Azerbaijan region (NW Iran). Geotectonics, 51(4), 428–437.*
 - Feda, J. (1973). *Stability of natural slopes. In Proc. Int. Conf. Smfe (Vol. 6).*
 - Galadini, F. (2006). *Quaternary tectonics and large-scale gravitational deformations with evidence of rock-slide displacements in the Central Apennines (central Italy). Geomorphology, 82(3-4), 201-228.*
 - Ghazi, A. M., Pessagno, E. A., Hassanipak, A. A., Kariminia, S. M., Duncan, R. A., & Babaie, H. A., 2003- *Biostratigraphic zonation and 40Ar–39Ar ages for the Neotethyan Khoy ophiolite of NW Iran. Palaeogeography, Palaeoclimatology, Palaeoecology, 193(2), 311–323.*
 - Gutiérrez, F., Ortuño, M., Lucha, P., Guerrero, J., Acosta, E., Coratza, P., ... & Soldati, M. (2008). *Late Quaternary episodic displacement on a sackung scarp in the central Spanish Pyrenees. Secondary paleoseismic evidence?. Geodinamica Acta, 21(4), 187-202.*
 - Hermann, S. W., & Becker, L. P. (2003). *Gravitational spreading ridges on the crystalline basement of the Eastern Alps (Niedere Tauern mountain range, Austria). Mitteilungen der Österreichischen Geologischen Gesellschaft, 94, 123-138.*

- Karakhanian, A., Djrbashian, R., Trifonov, V., Philip, H., Arakelian, S., & Avagian, A., 2002- Holocene-historical volcanism and active faults as natural risk factors for Armenia and adjacent countries. *Journal of Volcanology and Geothermal Research*, 113(1-2), 319–344.
- Lechmann, A., Burg, J.-P., Ulmer, P., Guillong, M., & Faridi, M., 2018- Metasomatized mantle as the source of Mid-Miocene-Quaternary volcanism in NW-Iranian Azerbaijan: Geochronological and geochemical evidence. *Lithos*, 304-307, 311–328.
- Mahr, T., and Nemčok, A., 1977. Deep-seated creep deformations in the crystalline cores of the Tatry Mts. *Bulletin of the IAEG*, 16, 104–106.
- Mahr, T. (1977). Deep—Reaching gravitational deformations of high mountain slopes. *Bulletin of the International Association of Engineering Geology-Bulletin de l'Association Internationale de Géologie de l'Ingénieur*, 16(1), 121.
- Mahr, T. B. F., & Balaik, F. (1973). Regional investigation of slope deformations in the high mountain area of the West Carpathians. In Proc. 10th Congress of the Carpathian-Balkan Geolog. Assoc., Sect (Vol. 5, pp. 169-178).
- Malgot, J., 1977. Deep-seated gravitational slope deformations in neovolcanic mountain ranges of Slovakia. *Bulletin of the IAEG*, 16, 106–109.
- Molnar, P. & Lyon-Caen, H. 1989. Fault plane solutions of earthquakes and active tectonics of the Tibetan Plateau and its margins. *Geophysical Journal International*, 99, 123–153.
- Moro, M., Saroli, M., Salvi, S., Stramondo, S., & Doumaz, F. (2007). The relationship between seismic deformation and deep-seated gravitational movements during the 1997 Umbria–Marche (Central Italy) earthquakes. *Geomorphology*, 89(3-4), 297-307.
- Nemčok, A., 1972. Gravitational slope deformation in high mountains. In Proceedings 24th International Geological Congress, Montreal, Sect. 13, pp. 132–141.
- Pasek, J., 1974. Gravitational block-type movements. In Proceedings 2nd International Congress. São Paulo, Brasil: IAEG, pp. V-PC-1.1–V-PC-1.9.
- Pasuto, A., Soldati, M., 2013. Lateral spreading. In: Shroder, J. (Editor in Chief), Marston, R.A., Stoffel, M. (Eds.), *Treatise on Geomorphology*. Academic Press, San Diego, CA, vol. 7, *Mountain and Hillslope Geomorphology*, pp. 239–248.
- Radbruch-Hall, D. H., Varnes, D. J., & Savage, W. Z. (1976). Gravitational spreading of steep-sided ridges (“sackung”) in Western United States. *Bulletin of the International Association of Engineering Geology-Bulletin de l'Association Internationale de Géologie de l'Ingénieur*, 13(1), 23-35.
- Radbruch-Hall, D. H., Varnes, D. J., & Colton, R. B. (1977). Gravitational spreading of steep-sided ridges in Colorado: US Geological Survey Journal of Research, v. 5.
- Radbruch-Hall, D. H., 1978. Gravitational creep on rock masses on slopes. In Voight, B. (ed.), *Rockslides and avalanches*. Amsterdam: Elsevier, pp. 607–675.
- Savage, W.Z. (1994). Gravity induced stresses in finite slopes. *International Journal of Rock Mechanics and Mining Sciences & Geomechanics Abstracts* 31, 471–483.
- Schultz-Ela, D. D. 2001. Excursus on gravity gliding and gravity spreading. *Journal of Structural Geology*, 23, 725–731.
- Selçuk, A. S., Erturaç, M. K., & Nomade, S., 2016- Geology of the Çaldırıhan Fault, Eastern Turkey: Age, slip rate and implications on the characteristic slip behaviour. *Tectonophysics*, 680, 155–173.
- Sengor, A. M. C., 1990- A new model for the late Paleozoic-Mesozoic tectonic evolution of Iran and implications for Oman, in *The Geology and Tectonics of the Oman Region*, edited by A. H. F. Robertson, M. P. Searle, and A. C. Ries, *Geol. Soc. Spec. Publ.*, 49, 797 – 831.
- Sharkov, E., Lebedev, V., Chugaev, A., Zabarinskaya, L., Rodnikov, A., Sergeeva, N., & Safonova, I. (2015). The Caucasian-Arabian segment of the Alpine-Himalayan

- collisional belt: Geology, volcanism and neotectonics.* Geoscience Frontiers, 6(4), 513-522
- Soldati, M. (2013). *Deep-seated gravitational slope deformation.* In *Encyclopedia of Natural Hazards* (pp. 151-155). Springer Netherlands.
- Tchalenko, J.S., 1977-. *A reconnaissance of seismicity and tectonics on the northern border of the Arabian plate (Lake Van region).* Rev. Geogr. Phys. Geol. Dyn. 19, 189–208.
 - Terzaghi, K. (1962). *Stability of steep slopes on hard unweathered rock.* Geotechnique, 12(4), 251-270.
 - Varnes, D.J., Radbruch-Hall, D., Savage, W.Z. (1989). *Topographic and structural conditions in areas of gravitational spreading of ridges in the Western United States.* United States Geological Survey Professional Paper 1496 (28 pp.).
 - Zischinsky, Ü., 1966. *On the deformation of high slopes.* In *Proceedings 1st Conference of International Society for Rock Mechanics, Lisbon, Sect. 2*, pp. 179–185.